

Multirésolution adaptative pour la simulation d'écoulements visqueux compressibles

C. Tenaud

1 - LIMSI, UPR CNRS 3251, Orsay, France

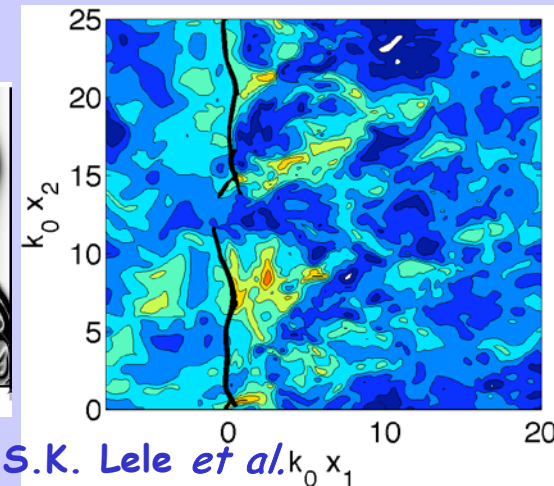
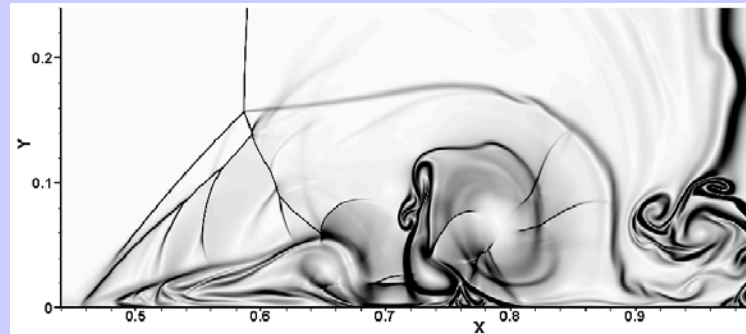
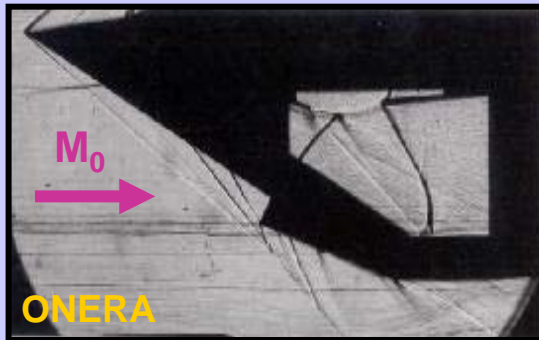
Motivations

Laboratoire d'Informatique pour la Mécanique et les Sciences de l'Ingénieur

Objectifs : Prédiction fiables écoulements compressibles

Multiplicité d'échelles spatiales et temporelles

- Onde de choc / Turbulence → déformation choc aux p^{tes} échelles ;
- Production de vorticit  par effet barocline ;
- ...



Approches :

Sch ma d'ordre  lev  : limitation de la diffusion

Capture des discontinuit s : dispositif ad-hoc

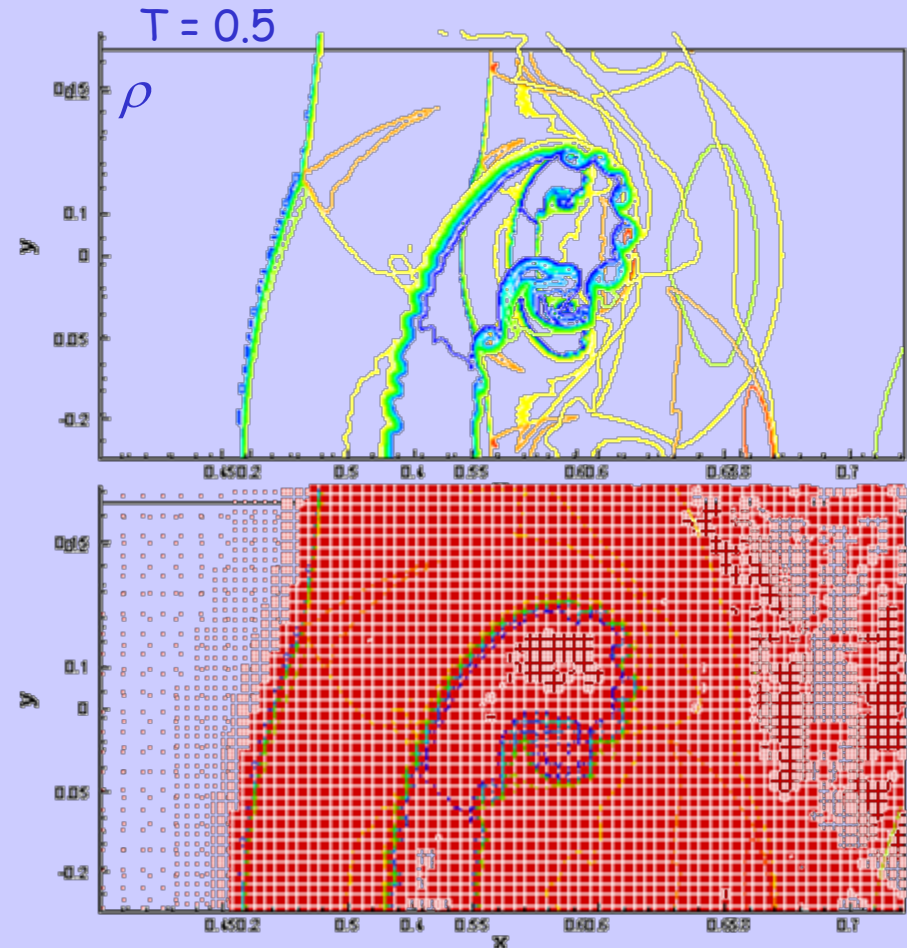
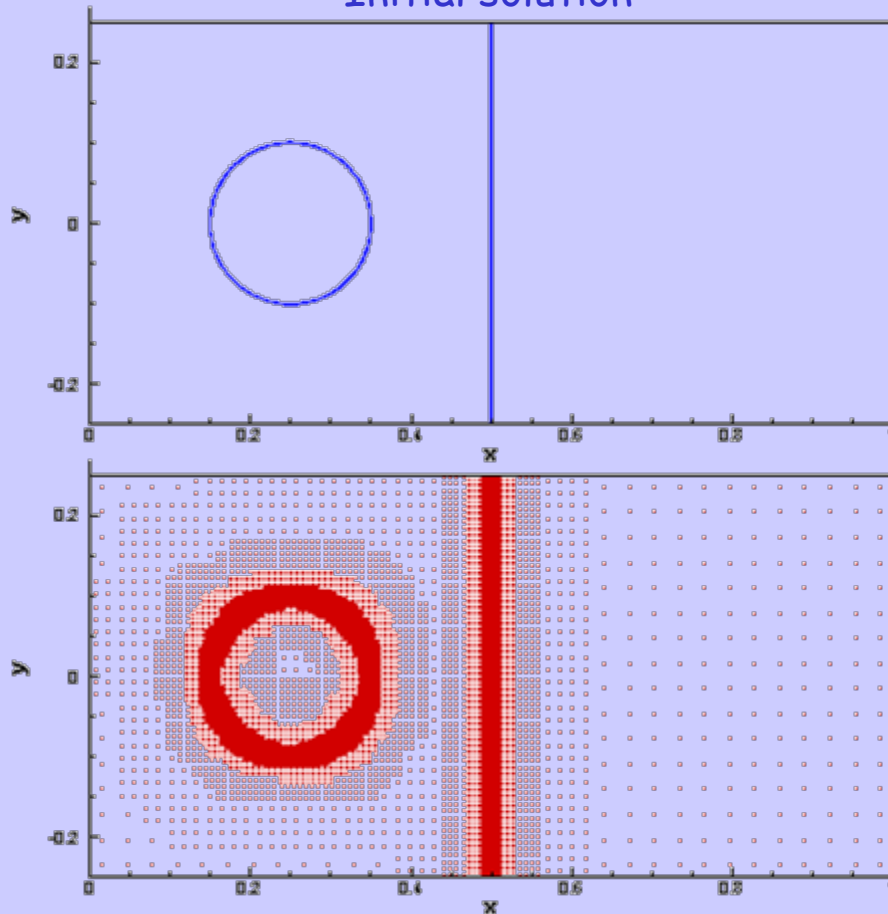
Multir solution adaptative : AMR / ondelettes.

Cas-Test Euler 2D : Choc / Bulle

Laboratoire d'Informatique pour la Mécanique et les Sciences de l'Ingénieur

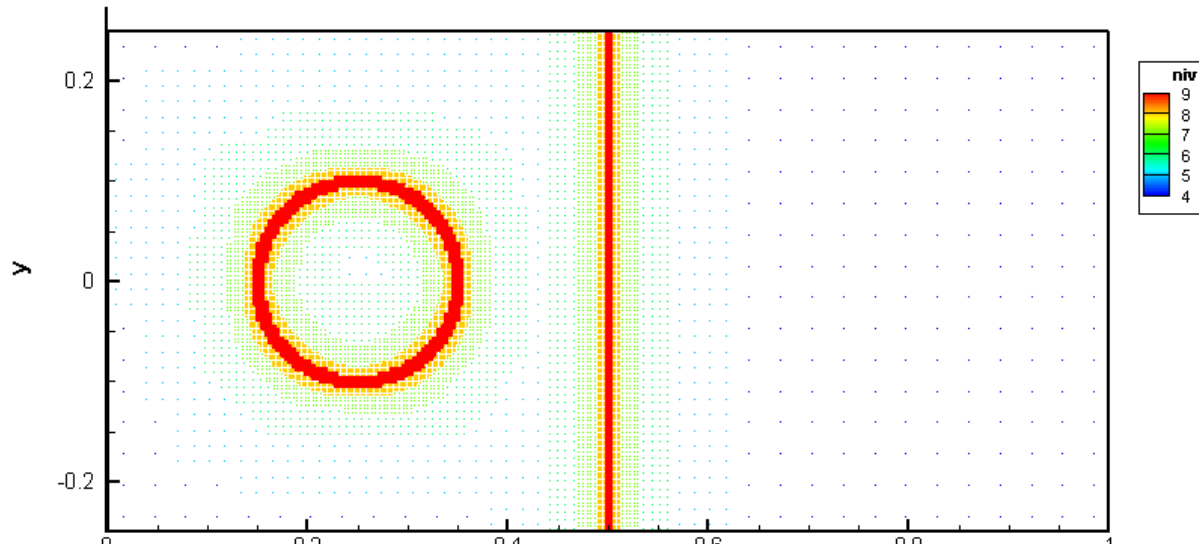
$$M_0 = 2. ; \gamma = 1.4 ; (x,y) \in [0,1] \times [-0.25, 0.25] ; T_b = 3.333$$

Initial solution



Cas-Test Euler 2D : Choc / Bulle

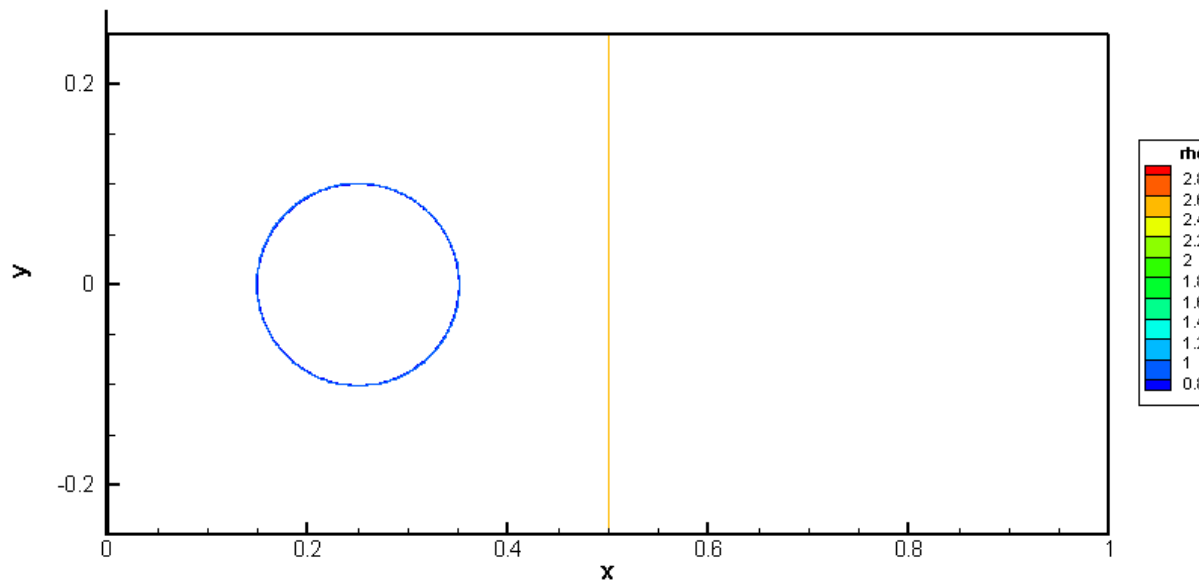
maillage



Niv = 9

$\varepsilon = 10^{-2}$

densité



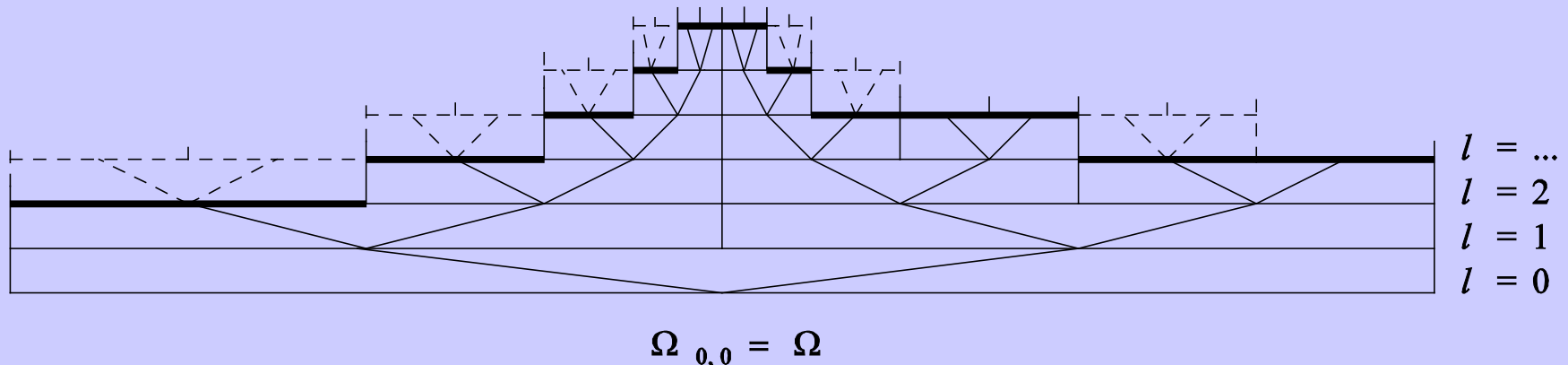
Adaptation - Multirésolution

Laboratoire d'Informatique pour la Mécanique et les Sciences de l'Ingénieur

MLAT : Brandt (1977) **AMR** : Berger *et al.* (1984-1989)

MRA : Multi-Resolution Analysis

- Harten (1994-1995) : multirésolution & syst. hyperb.
- Cohen *et al.* (2003) : formalisme base d'ondelettes
→ multirésol. compl^t adaptative



Equations (1) : Navier-Stokes

Laboratoire d'Informatique pour la Mécanique et les Sciences de l'Ingénieur

$$\left\{ \begin{array}{l} \frac{\partial \mathbf{U}(t, \mathbf{x})}{\partial t} + \nabla \cdot [\mathbf{F}(\mathbf{U}(t, \mathbf{x}), \nabla \mathbf{U})] = 0. \quad \mathbf{x} \in \Omega, \quad t > 0. \\ \mathbf{U}(0, \mathbf{x}) = \mathbf{u}_0(\mathbf{x}) \quad \mathbf{x} \in \Omega \\ \mathbf{g}[\mathbf{U}(t, \mathbf{x}), \nabla \mathbf{U}(t, \mathbf{x})] = 0. \quad \mathbf{x} \in \partial\Omega \quad t > 0. \end{array} \right.$$

$$\mathbf{U}(t, \mathbf{x}) = \begin{pmatrix} \rho \\ \rho \mathbf{u} \\ \rho E \end{pmatrix} ; \quad \mathbf{F}(t, \mathbf{x}) = \begin{pmatrix} \rho \mathbf{u} \\ \rho \mathbf{u} \otimes \mathbf{u} + \frac{P}{\gamma M^2} \mathbf{I} \\ \rho \mathbf{u} E + \mathbf{u} \frac{P}{\gamma M^2} \end{pmatrix} - \frac{\mu}{\text{Re}} \begin{pmatrix} 0 \\ \boldsymbol{\tau} = (\nabla \mathbf{u} + \nabla^t \mathbf{u}) - \frac{2}{3} \nabla \cdot \mathbf{u} \\ \mathbf{u} \cdot \boldsymbol{\tau} + \frac{1}{(\gamma - 1) \text{Pr} M^2} \nabla T \end{pmatrix}$$

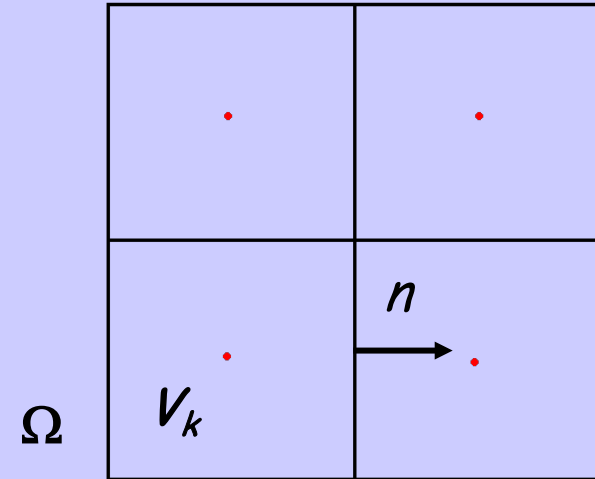
Equations (2): Approximation volumes-finis

Laboratoire d'Informatique pour la Mécanique et les Sciences de l'Ingénieur

- Maillage structuré : Ω partitionné en blocs (cartésien)

$$\Omega = \bigcup_{k \in Z} V_k$$

$$V_k := \left\{ \underline{\xi} \mid \underline{x}_{k_m} - \frac{1}{2} \delta \underline{x}_m \leq \underline{\xi}_m \leq \underline{x}_{k_m} + \frac{1}{2} \delta \underline{x}_m \right\}$$



$$\int_{t_0}^{t_1} \int_V \frac{\partial \underline{U}(\underline{\xi}, t)}{\partial t} d \underline{\xi} d \tau = - \int_{t_0}^{t_1} \int_V \nabla \cdot \underline{F}(\underline{U}(\tau, \underline{\xi}), \nabla \underline{U}(\tau, \underline{\xi})) d \underline{\xi} d \tau$$

Flux numérique : (2p points)

$$\bar{\mathbf{v}}_k^{n+1} = \bar{\mathbf{v}}_k^n - \sum_{m=1}^D \lambda_m \left(\bar{\mathbf{F}}_{m,k+1/2}^n - \bar{\mathbf{F}}_{m,k-1/2}^n \right) ; \text{ avec } \lambda_m = \frac{\delta t}{\delta x_m}$$

Approximation (3) : Schéma de base [OS7]

Laboratoire d'Informatique pour la Mécanique et les Sciences de l'Ingénieur

o Schéma d'ordre élevé à 1-pas (L-W) :

[Daru & Tenaud 2001, 2004]

- développement jusqu'à ordre de précision 7 (scalaire)
- contrôle de la dissipation en temps + espace
- Support (OS7) = 9 points
 - ➔ *Plus compacte qu'une intégration multi-pas (R-K)*
- CFL =1 ➔ *solution exacte retrouvée*

Décomposition multiéchelle (1) : Maillage

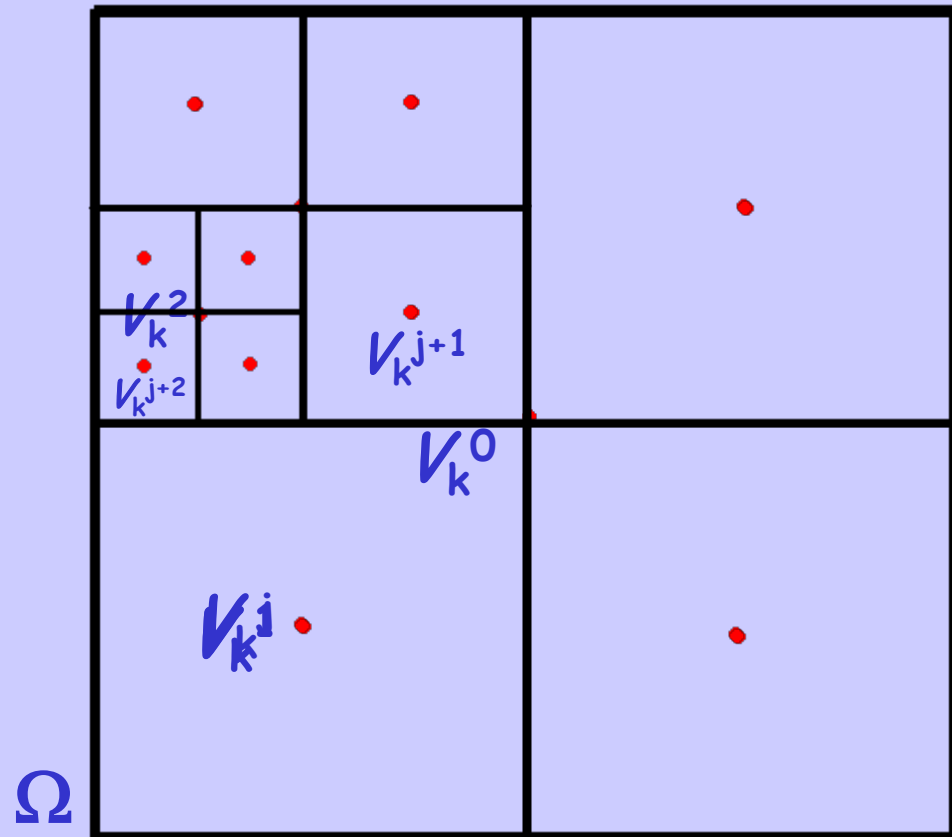
Laboratoire d'Informatique pour la Mécanique et les Sciences de l'Ingénieur

- Raffinement de maillage adaptatif :
- Maillages hiérarchiques (emboîtés) : **dyadique**

$$\Omega = \bigcup_{k \in \mathcal{N}} V_k^j$$

niveau : $j \in [0, L]$

$$V_k^j = \bigcup_{r \in M_{j,k}} V_r^{j+1} ; k \in \mathcal{N}$$



Décomposition multiéchelle (2) : Projection

Laboratoire d'Informatique pour la Mécanique et les Sciences de l'Ingénieur

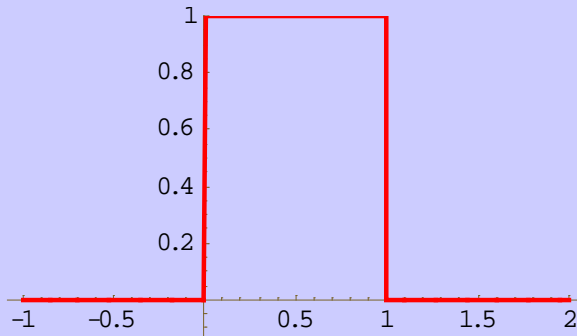
• Projection : P_j^{j+1} progresser de $j+1 \rightarrow j$

• Moyenne de maille : $\bar{\mathbf{v}}_k^n = \frac{1}{|\mathbf{V}_k|} \int_{\mathbf{V}_k} \mathbf{U}(\mathbf{t}^n, \underline{\xi}) d \underline{\xi}$

→ Fonction d'échelle (duale) : sur chaque maille

$$\tilde{\varphi}_{j,k}(\mathbf{x}) = \frac{1}{|\mathbf{V}_k^j|} \chi_{\mathbf{V}_k^j}(\mathbf{x})$$

$$\text{avec } \chi_{\mathbf{V}_k^j}(\mathbf{x}) = \begin{cases} 1. & \text{si } \mathbf{x} \in \mathbf{V}_k^j \\ 0. & \text{sinon} \end{cases}$$



$$\bar{\mathbf{v}}_{j,k} = \langle \mathbf{v}, \tilde{\varphi}_{j,k} \rangle_{\Omega} = \sum_{i \in E} \frac{|\mathbf{V}_{2k+i}^{j+1}|}{|\mathbf{V}_k^j|} \bar{\mathbf{v}}_{j+1,2k+i}$$

Décomposition multiéchelle (3) : Projection

Laboratoire d'Informatique pour la Mécanique et les Sciences de l'Ingénieur

- Fonction d'échelle (duale) :

$$\tilde{\varphi}_{j,k}(\mathbf{x}) = \frac{1}{|V_k^j|} \chi_{V_k^j}(\mathbf{x}) \quad \text{avec } \chi_{V_k^j}(\mathbf{x}) = \begin{cases} 1. & \text{si } \mathbf{x} \in V_k^j \\ 0. & \text{sinon} \end{cases}$$

- Propriétés : $\|\tilde{\varphi}_{j,k}\|_{L_1(\Omega)} = 1.$; $\tilde{\varphi}_{j,k} := 2^j \tilde{\varphi}(2^j \bullet - k)$

$$\bar{\mathbf{v}}_{j,k} = \langle \mathbf{v}, \tilde{\varphi}_{j,k} \rangle_{\Omega} = \sum_{i \in E} \frac{|V_{2k+i}^{j+1}|}{|V_k^j|} \bar{\mathbf{v}}_{j+1,2k+i}$$

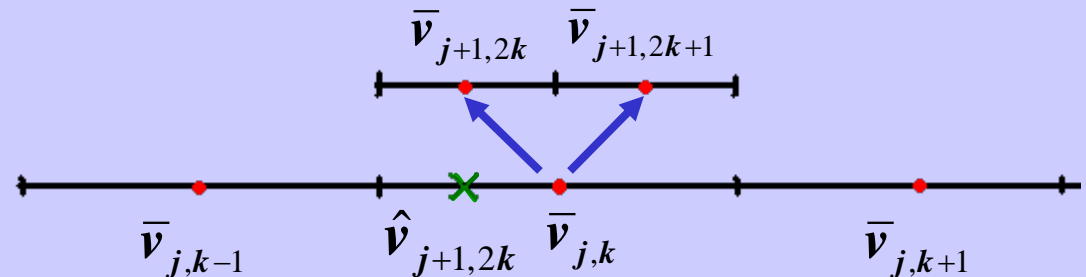
$$\tilde{\varphi}_{j,k} = \sum_{i \in E} \frac{|V_{2k+i}^{j+1}|}{|V_k^j|} \tilde{\varphi}_{j+1,2k+i}$$

Décomposition multiéchelle (4): Prédiction

Laboratoire d'Informatique pour la Mécanique et les Sciences de l'Ingénieur

- Prédiction : P_{j+1}^j progresser de $j \rightarrow j+1$

→ détails



$$\bar{v}_{j+1,2k} = \bar{v}_{j,k} + \bar{d}_{j,k} \quad ; \quad \bar{v}_{j+1,2k+1} = \bar{v}_{j,k} - \bar{d}_{j,k}$$

Contraintes : la prédiction doit être

- locale

- consistante avec projection (conservativité) :

$$P_j^{j+1} \circ P_{j+1}^j = Id.$$

- linéaire (pas nécessaire, mais simplifie l'analyse numérique)

Décomposition multiéchelle (5): Ondelettes

Laboratoire d'Informatique pour la Mécanique et les Sciences de l'Ingénieur

Détail : $\bar{d}_{j,k} = \bar{v}_{j+1,2k} - \hat{v}_{j+1,2k} \rightarrow$ erreur de prédiction

$$\hat{v}_{j+1,2k} = \bar{v}_{j,k} + \sum_{l=1}^s \gamma_l^s (\bar{v}_{j,k+l} - \bar{v}_{j,k-l}) = \sum_{l=-s}^s c_{j,l}^s \bar{v}_{j,k+l}$$

$$\bar{v}_{j,k} = \langle \mathbf{v}, \tilde{\varphi}_{j,k} \rangle_{\Omega}$$

$$\bar{d}_{j,k} = \langle \mathbf{v}, \tilde{\psi}_{j,k} \rangle_{\Omega} = \langle \mathbf{v}, \tilde{\varphi}_{j+1,2k} \rangle_{\Omega} - \sum_{l=-s}^s c_{j,l}^s \langle \mathbf{v}, \tilde{\varphi}_{j,k+l} \rangle_{\Omega}$$

Ondelette duale : $\tilde{\psi}_{j,k} := \tilde{\varphi}_{j+1,2k} - \sum_{l=-s}^s c_{j,l}^s \tilde{\varphi}_{j,k+l}$

avec : $\tilde{\psi}_{j,k} := 2^j \tilde{\psi}(2^j \bullet - k) ; \|\tilde{\psi}_{j,k}\|_{L_1(\Omega)} < C, \forall j$

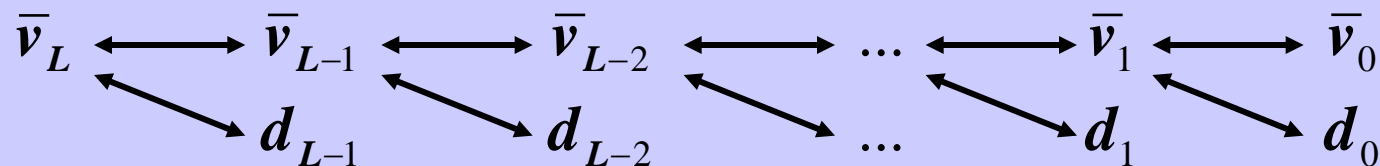
$$\int_{-\infty}^{+\infty} \xi^m \tilde{\psi}(\xi) d\xi = 0.$$

Multirésolution adaptative (1): Compression

Laboratoire d'Informatique pour la Mécanique et les Sciences de l'Ingénieur

Décomposition multiéchelle :

$$M : (\bar{v}_{L,k}, k \in [0, 2^L - 1]) \rightarrow (\bar{v}_{0,0}, d_{j,k}, j \in [0, L-1], k \in [0, 2^j - 1])$$



Précision polynômiale :

$$|d_{j,k}| \leq C 2^{-j} \|v'\|_{L_\infty(V_k^j)}$$

- Si v différentiable sur $V_k^j \rightarrow$ décroissance en 2^{-j}
 - Si discontinuités $\rightarrow d_{j,k}$ pointe les singularités
- $d_{j,k}$ gère compression en contrôlant perte de précision

Multirésolution adaptative (2): Compression

Laboratoire d'Informatique pour la Mécanique et les Sciences de l'Ingénieur

Seuillage : niveaux de seuillage $(\varepsilon_j), j \in [0, L]$

Opérateur (non-linéaire) : $T_\Lambda(\mathbf{d}_{j,k}) = \begin{cases} 0. & \text{si } \mathbf{d}_{j,k} < \varepsilon_j \\ \mathbf{d}_{j,k} & \text{sinon} \end{cases}$

Ensemble seuillé : $\Lambda_\varepsilon := \{(j,k) \text{ t.q. } |\mathbf{d}_{j,k}| \geq \varepsilon_j\}$

Contrôle de l'effet de seuillage :

Harten (1994) \rightarrow seuillage ordre ε :

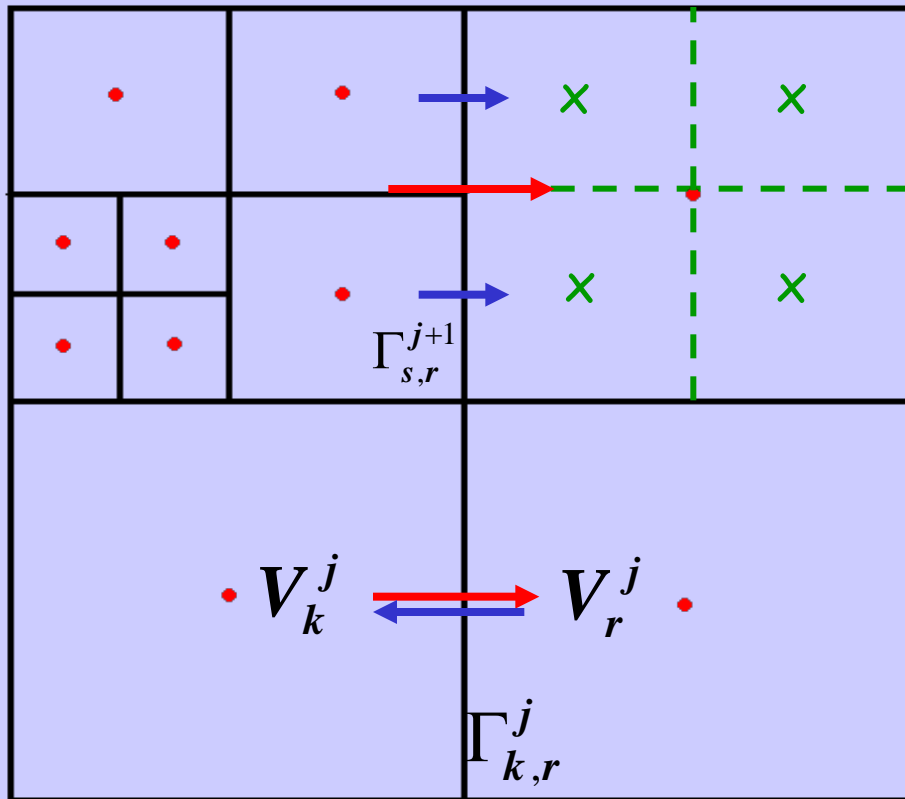
$$\varepsilon_j = 2^{D(j-L)} \varepsilon$$

Croissance de l'arbre : $\bar{\mathbf{d}}_{j,k} > \varepsilon_j$ et $\bar{\mathbf{d}}_{j,k} > 2^{(2^s-1)} \varepsilon_j$

Multirésolution adaptative (3) : Conservation

Laboratoire d'Informatique pour la Mécanique et les Sciences de l'Ingénieur

Conservation des flux aux interfaces



$$F_{k,r}^j = \sum_{\Gamma_{s,r}^{j+1} \subset \Gamma_{k,r}^j} \frac{|\Gamma_{s,r}^{j+1}|}{|\Gamma_{k,r}^j|} F_{s,r}^{j+1}$$

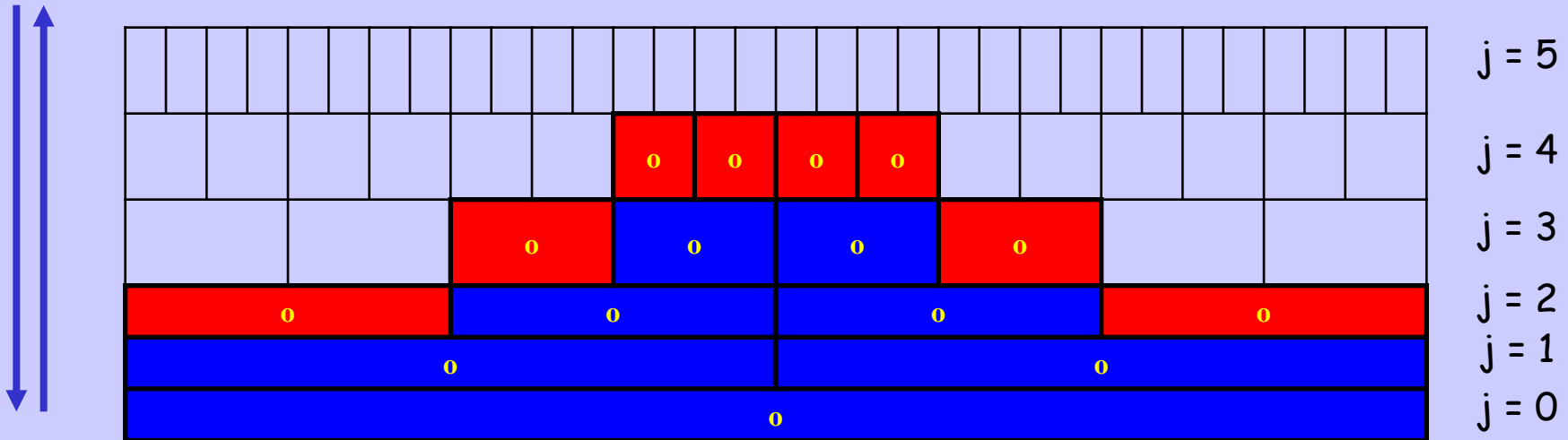
$$F_{k,r}^j = -F_{r,k}^j$$

Multirésolution adaptative (4) : Procédure

Laboratoire d'Informatique pour la Mécanique et les Sciences de l'Ingénieur

- t_n - Solution \bar{v}_k^n connue sur le niveau le plus fin
- 1 - Projection moyennes : $\bar{v}_{j,k} = \langle v, \tilde{\varphi}_{j,k} \rangle_{\Omega} = \sum_{i \in E} \frac{|V_{2k+i}^{j+1}|}{|V_k^j|} \bar{v}_{j+1,2k+i}$
- 2 - Prédiction détails : $\hat{v}_{j+1,2k} = \bar{v}_{j,k} + \sum_{l=1}^s \gamma_l^s (\bar{v}_{j,k+l} - \bar{v}_{j,k-l})$
 $\bar{d}_{j,k} = \bar{v}_{j+1,2k} - \hat{v}_{j+1,2k}$

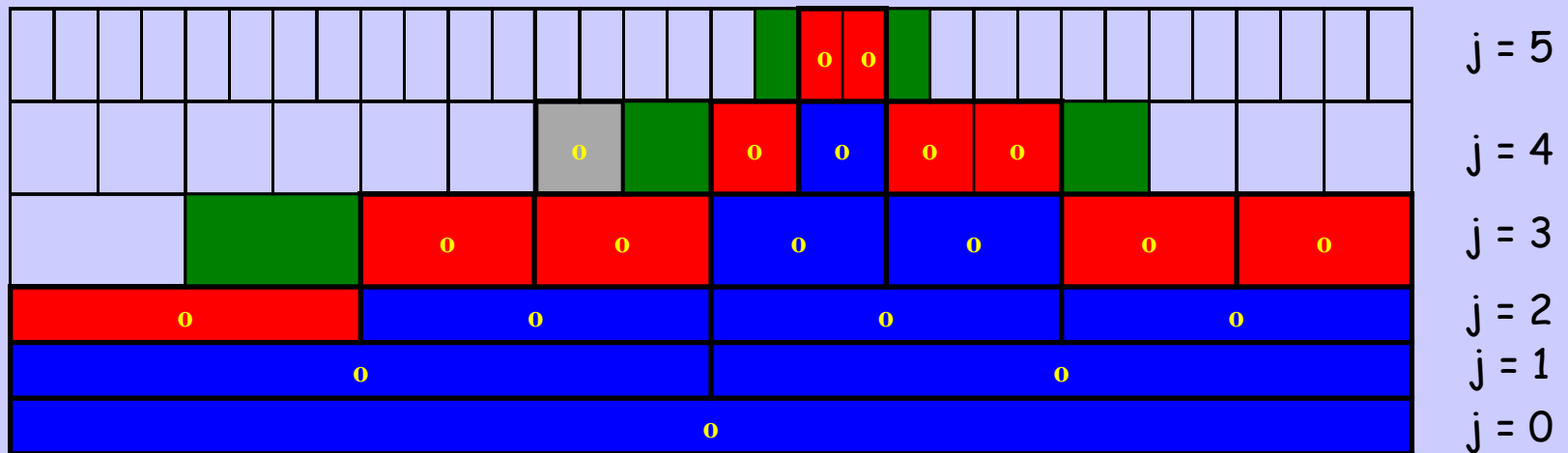
$j : 1 \rightarrow 0$



Multirésolution adaptative (5) : Procédure

Laboratoire d'Informatique pour la Mécanique et les Sciences de l'Ingénieur

- 3 - Seuillage : $\bar{d}_{j,k} \leq \varepsilon_j$
- 4 - Croissance de l'arbre : $\bar{d}_{j,k} > \varepsilon_j$ et $\bar{d}_{j,k} > 2^{(2s-1)} \varepsilon_j$
- 5 - Arbre \rightarrow gradualité : support de prédiction
- 6 - Feuilles et feuilles fictives \rightarrow conservation

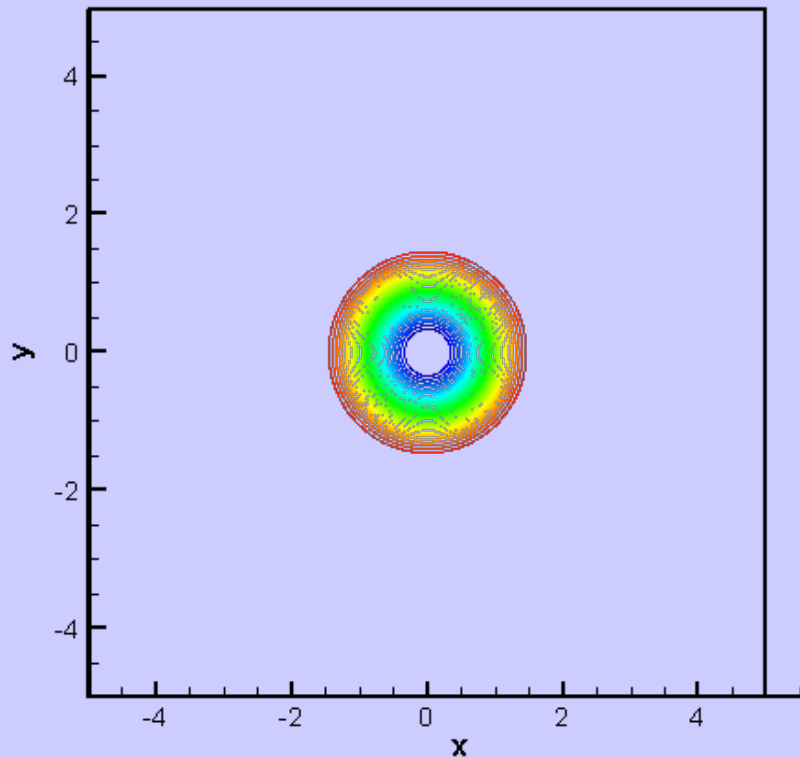


Cas-Test Euler 2D : Advection d'un tourbillon

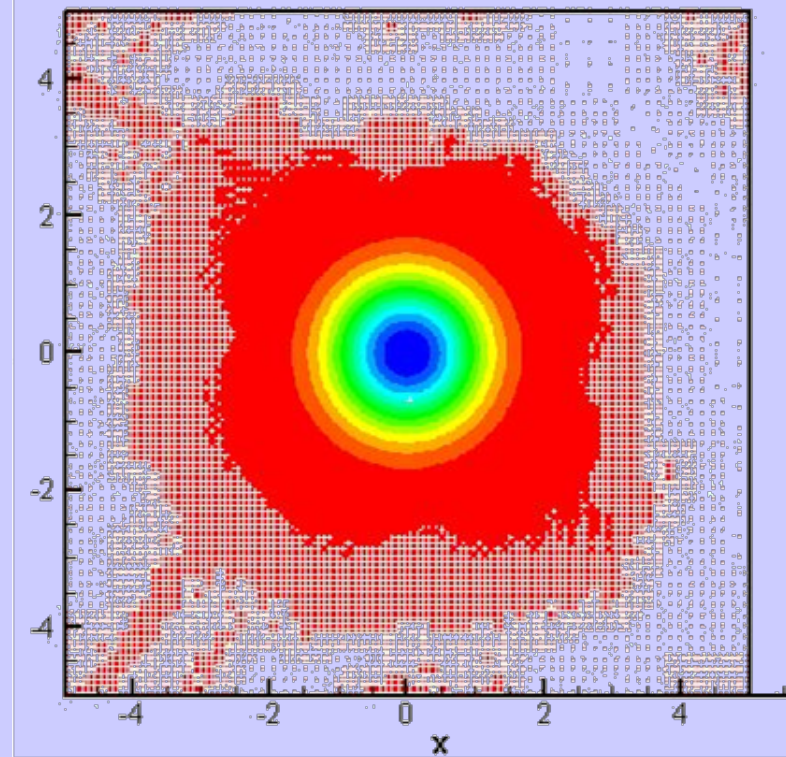
Laboratoire d'Informatique pour la Mécanique et les Sciences de l'Ingénieur

Propagation à 45° et à nombre de Mach supersonique d'un tourbillon de forte intensité (non visqueux)

$t = 1.$



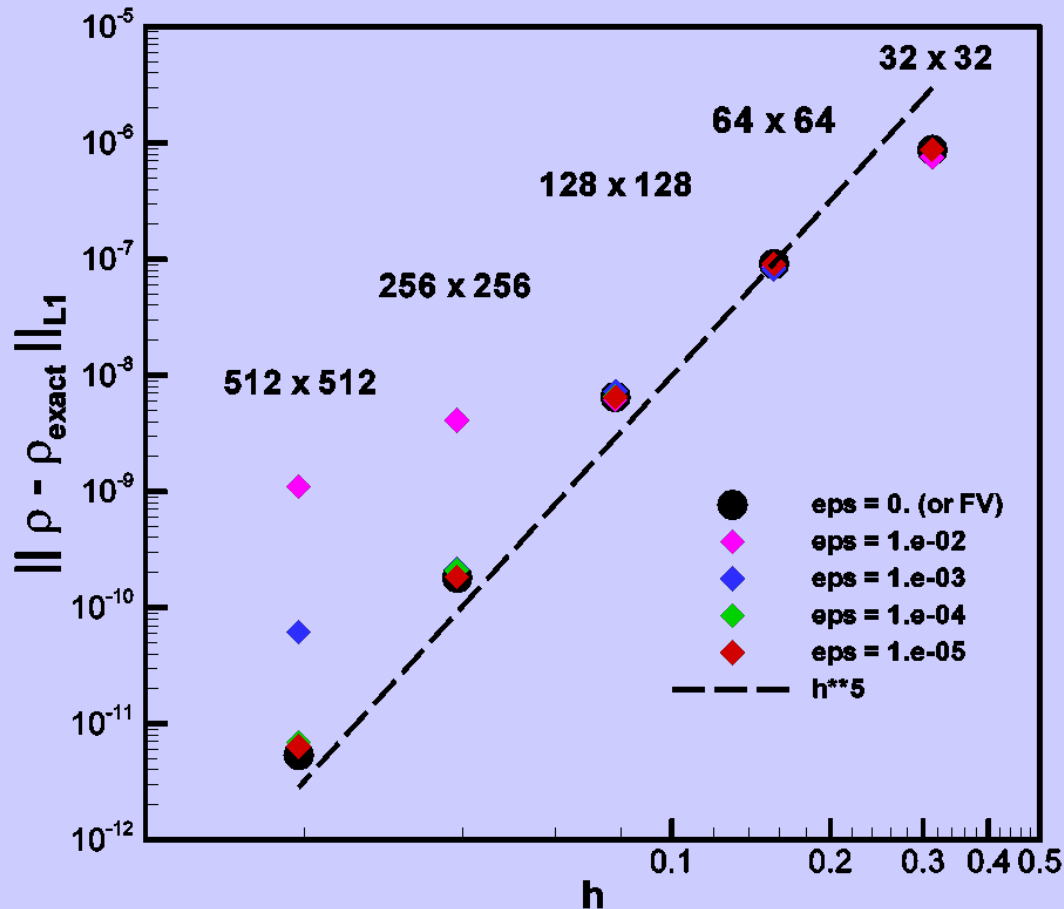
$t = 10.$



Cas-Test Euler 2D : Advection d'un tourbillon

Laboratoire d'Informatique pour la Mécanique et les Sciences de l'Ingénieur

Erreur / Solution exacte



• CPU($\epsilon=0$) = 2. x CPU(FV)

• Compression mémoire $\forall \epsilon$

$\epsilon > 10^{-3}$: 50 % (FV)

$\epsilon > 10^{-2}$: 35 % (FV)

• $\epsilon > 10^{-3}$

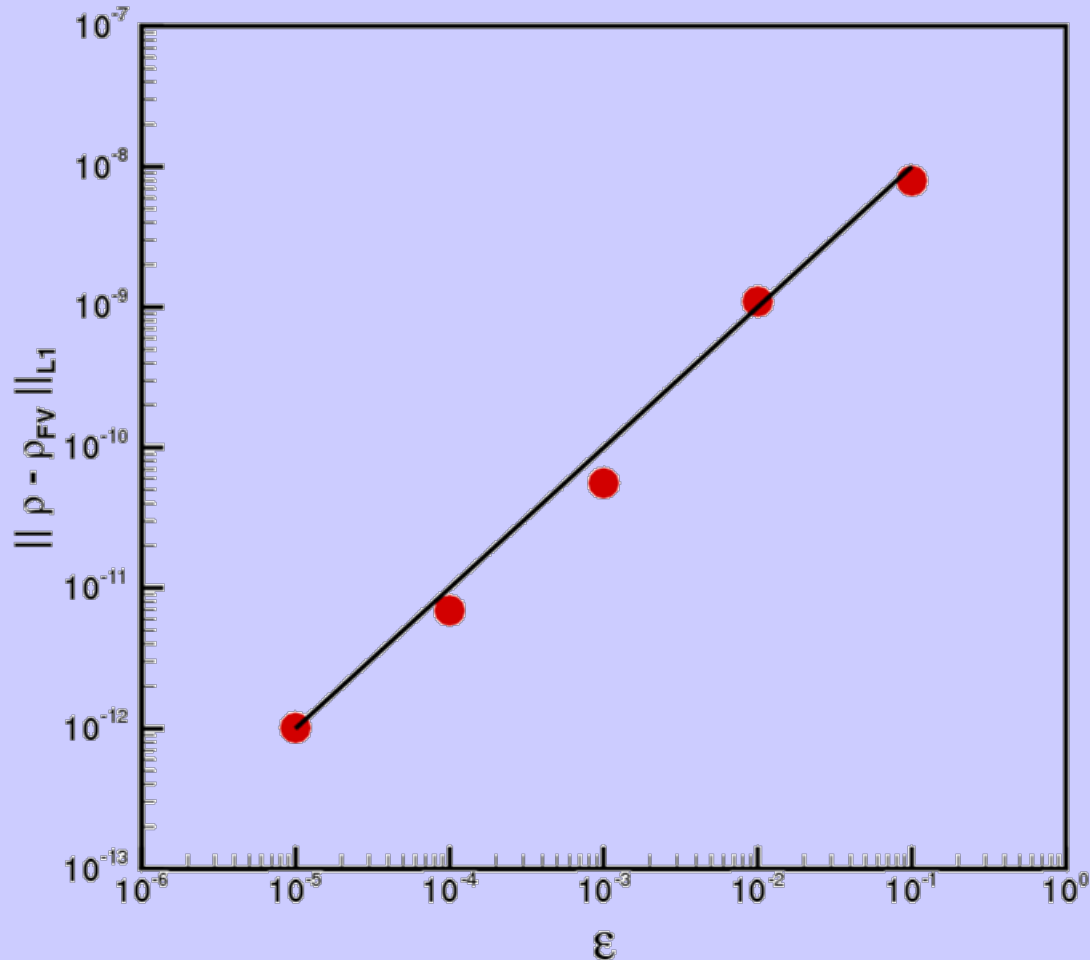
→ Gains CPU si 50 % mém(FV)

→ maillages fins

Cas-Test Euler 2D : Advection d'un tourbillon

Laboratoire d'Informatique pour la Mécanique et les Sciences de l'Ingénieur

Erreur d'Approximation Multirésolution : $t = 10$.

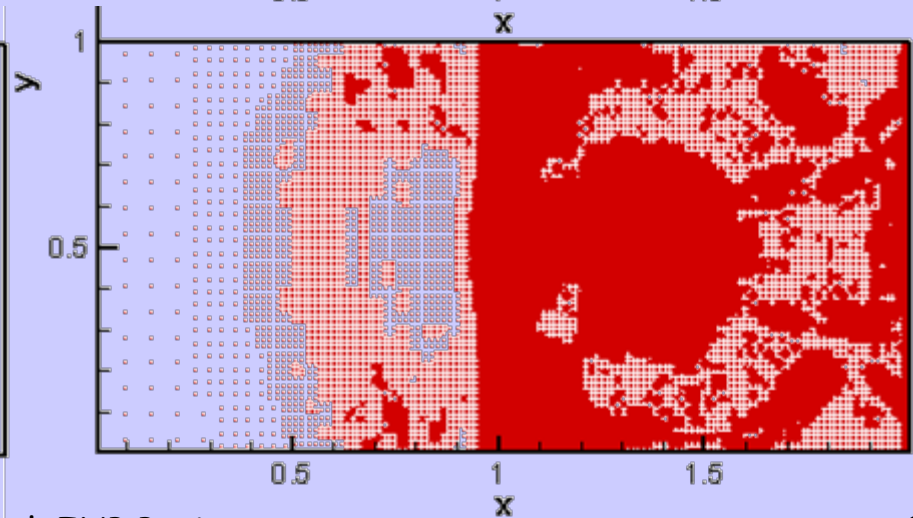
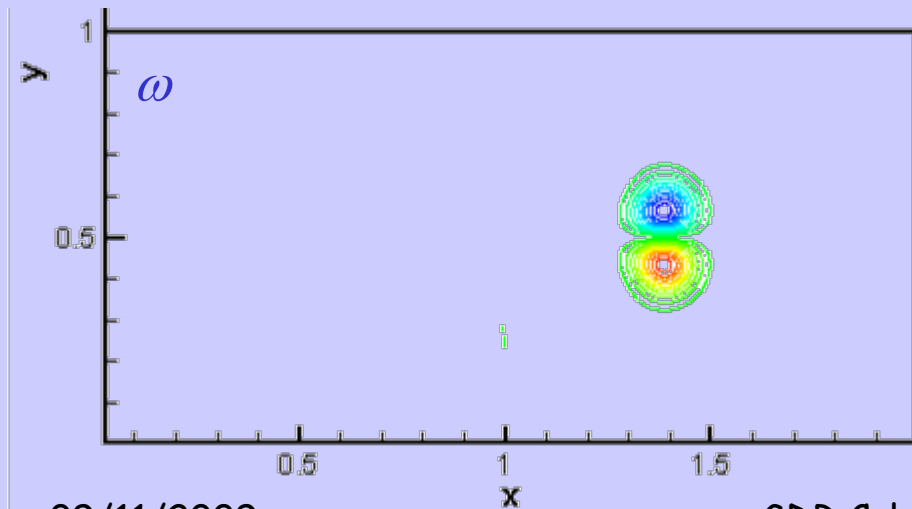
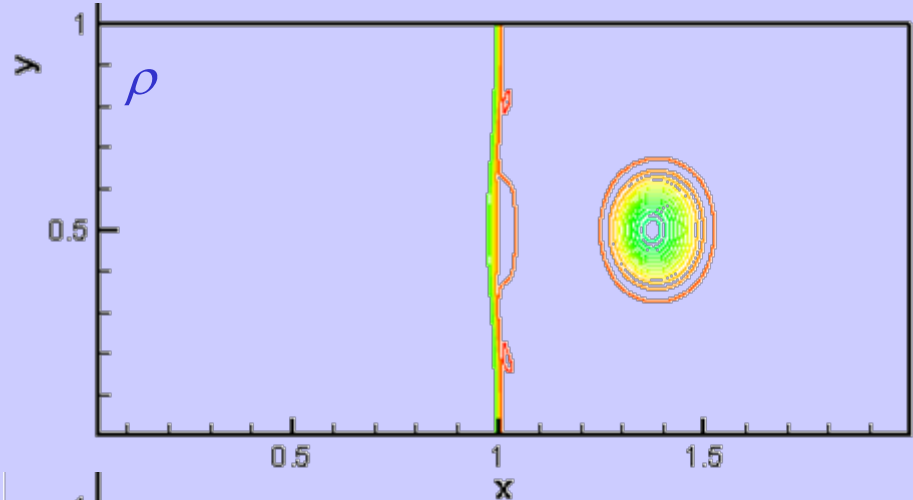
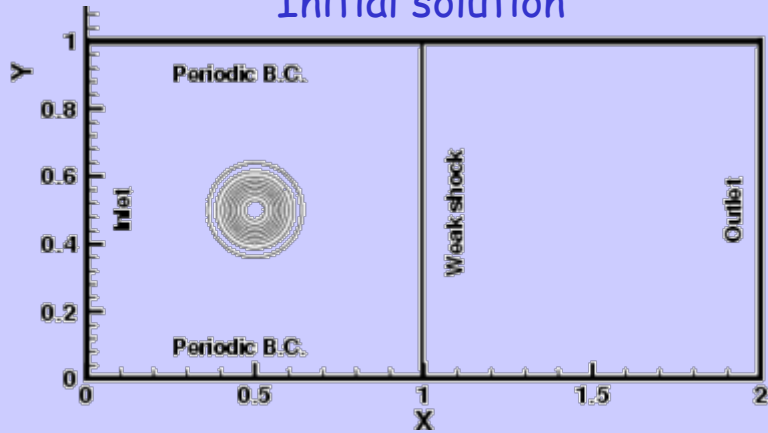


Cas-Test N-S 2D : Choc / spot T

Laboratoire d'Informatique pour la Mécanique et les Sciences de l'Ingénieur

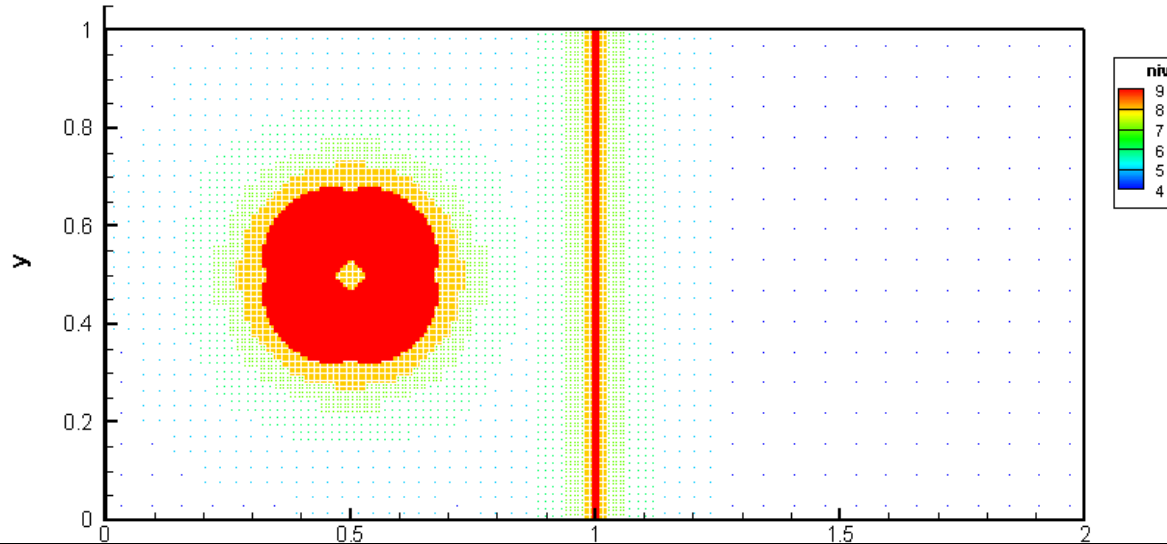
$M_0 = 1.1588$; $Re = 2000$; $Pr = 0.7$; $\gamma = 1.4$; $(x \times y) \in [0, 2] \times [0, 2]$

Initial solution



Cas-Test N-S 2D : Choc / spot T

maillage



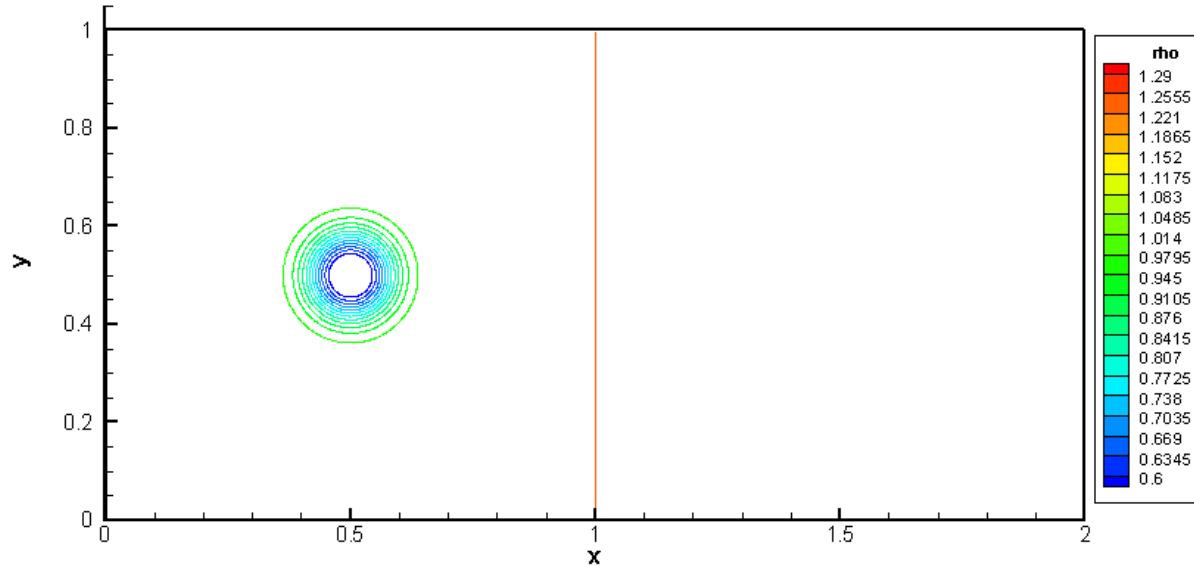
es de l'Ingénieur

21 %

Niv = 9

$\varepsilon = 10^{-3}$

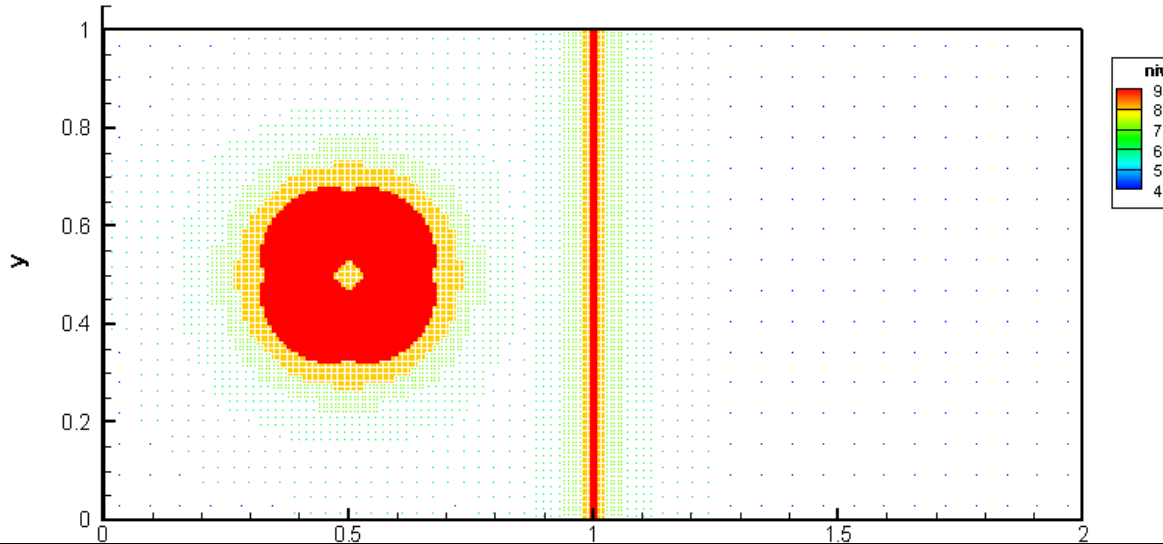
densité



t_{CPU}
36 %

Cas-Test N-S 2D : Choc / spot T

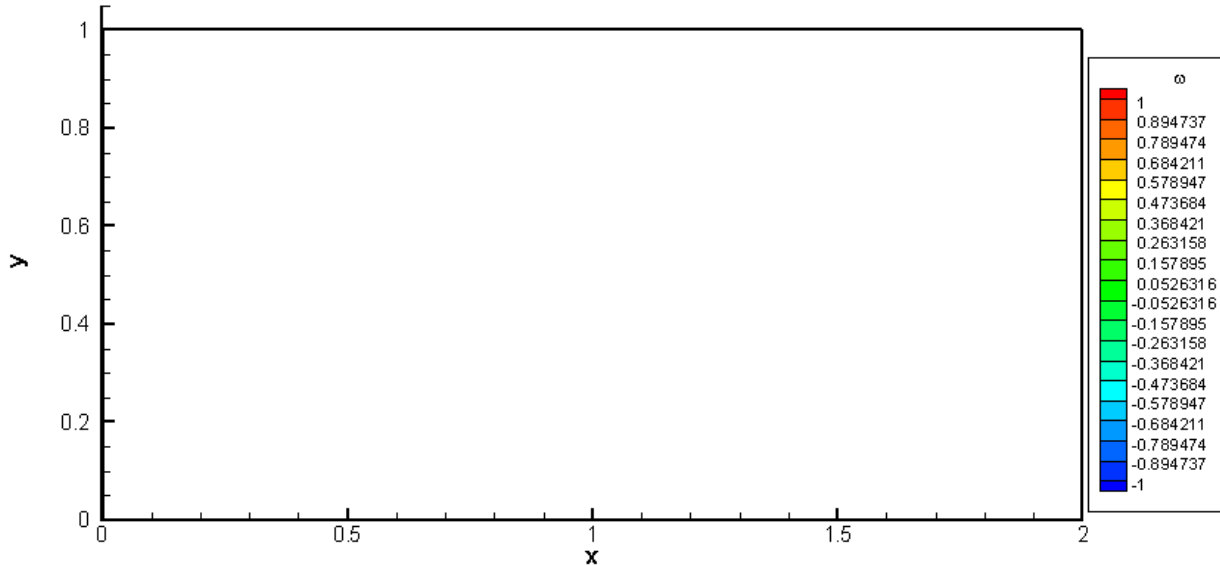
maillage



Niv = 9

$\varepsilon = 10^{-3}$

vorticité



es de l'Ingénieur

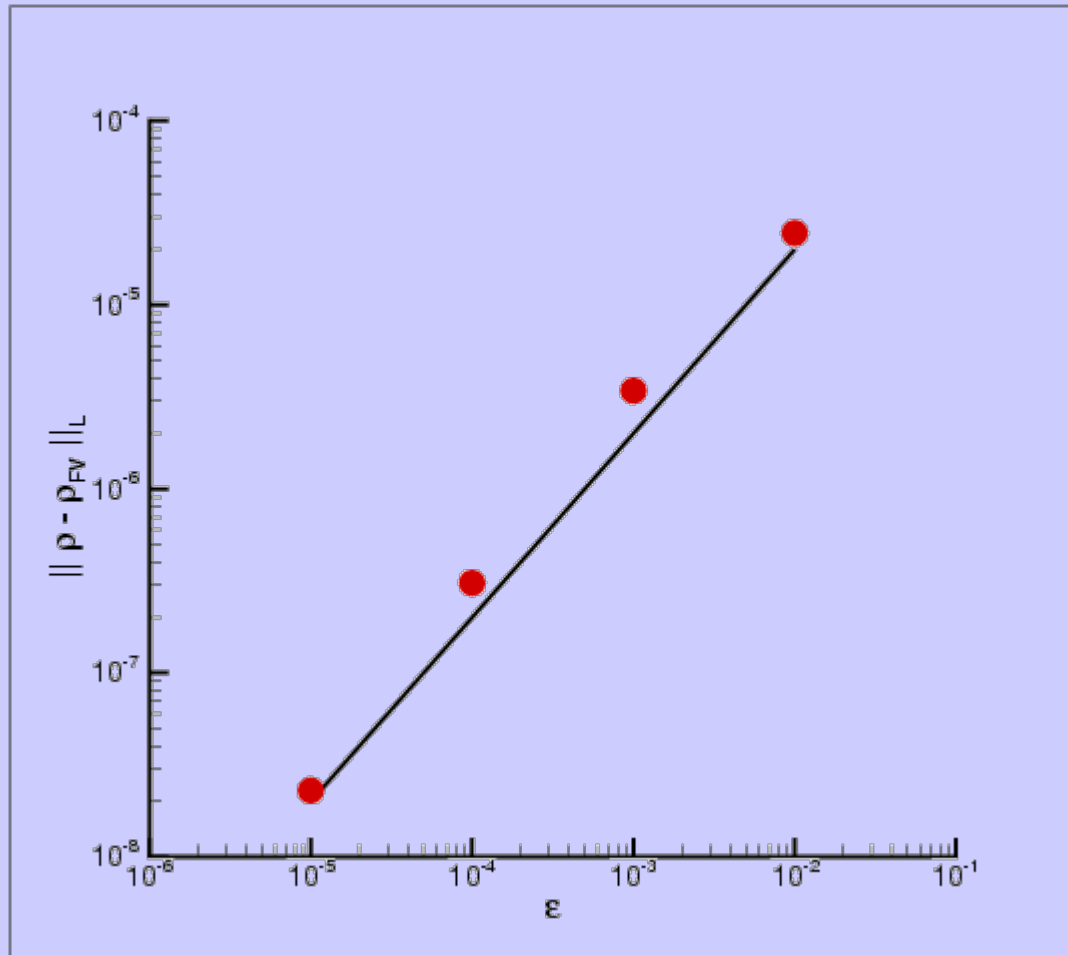
21 %

t_{CPU}
36 %

Cas-Test N-S 2D : Choc / spot T

Laboratoire d'Informatique pour la Mécanique et les Sciences de l'Ingénieur

Erreur d'Approximation Multirésolution : $\tau = 1$.

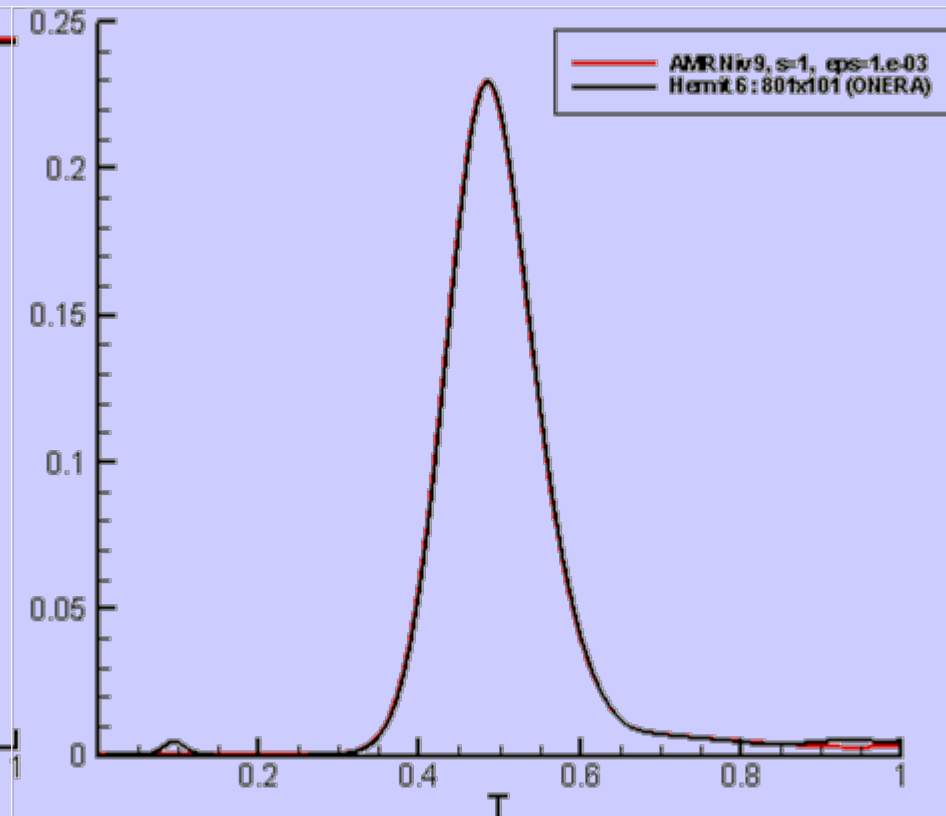
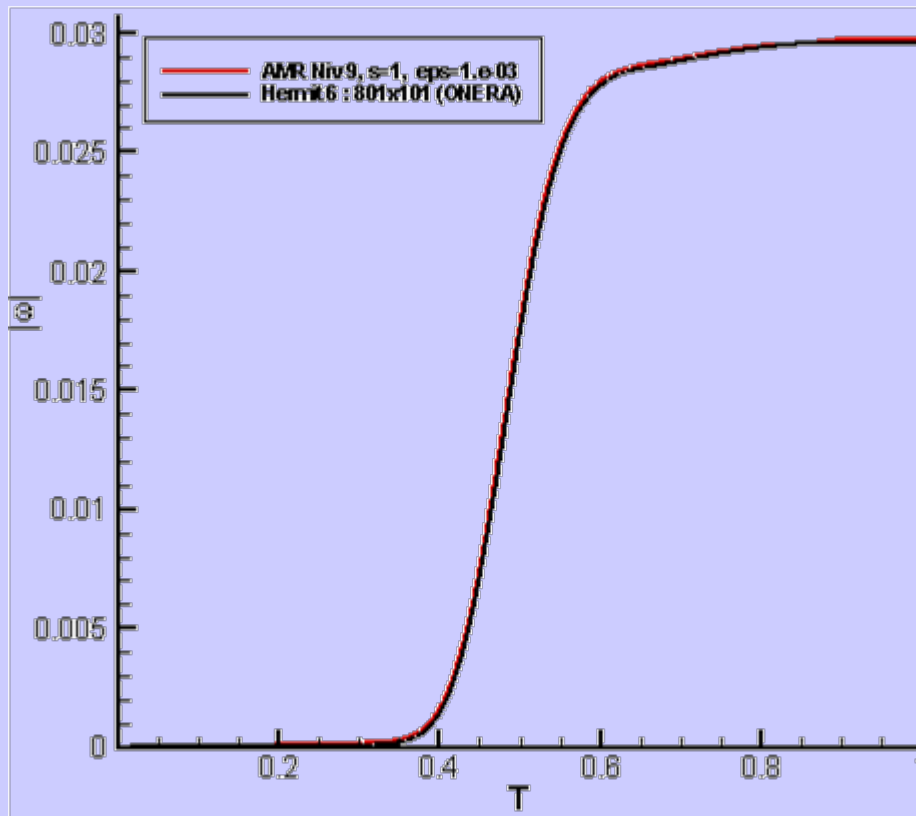


Cas-Test N-S 2D : Choc / spot T

Laboratoire d'Informatique pour la Mécanique et les Sciences de l'Ingénieur

$$\int_{\Omega} |\omega| d\underline{x}$$

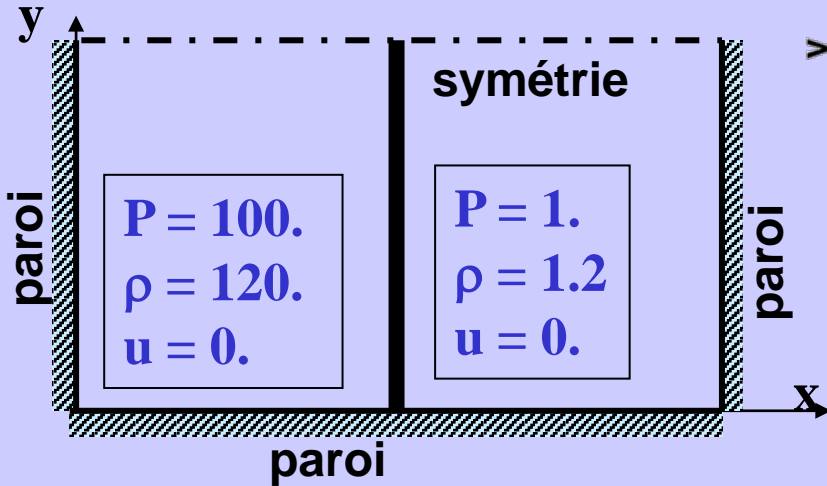
$$\int_{\Omega} \frac{|\nabla p \times \nabla \rho|}{\rho^2} d\underline{x}$$



Cas-Test N-S 2D : Tube à choc ($Re=200$)

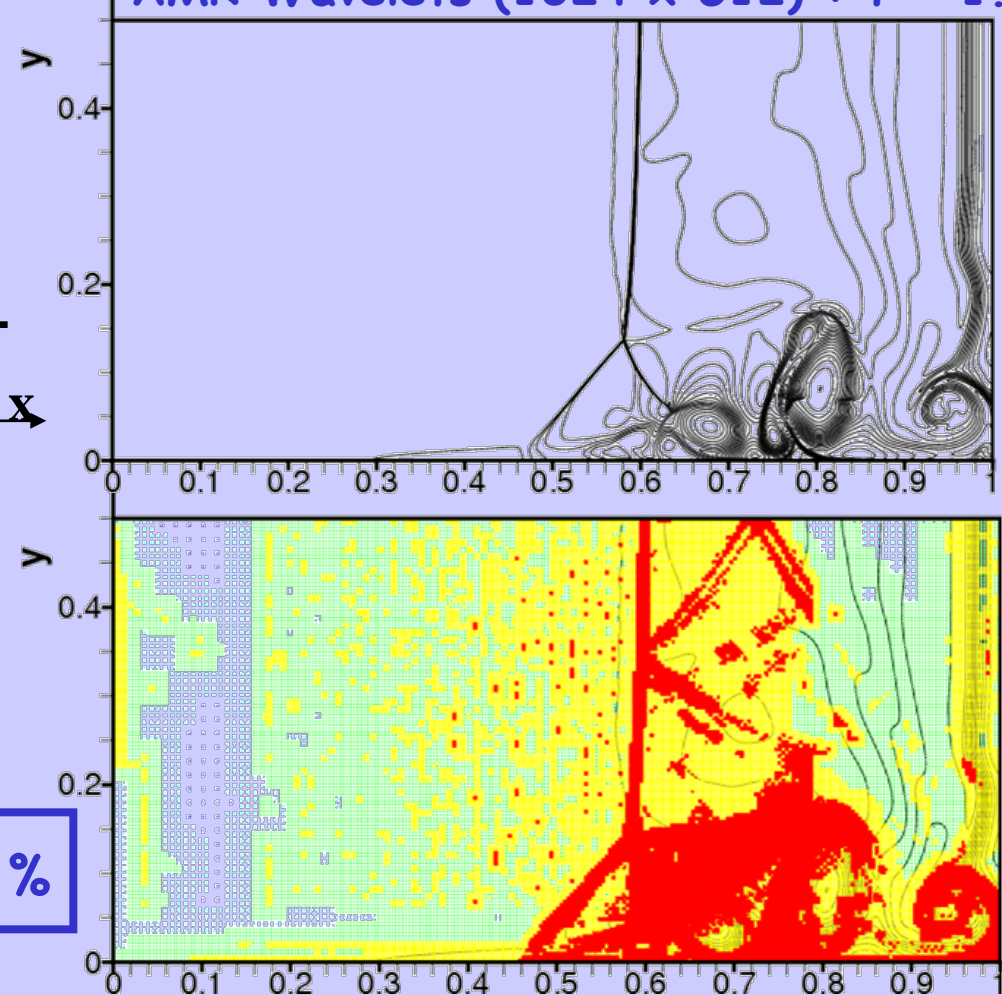
Laboratoire d'Informatique pour la Mécanique et les Sciences de l'Ingénieur

AMR Wavelets (1024 x 512) : $t = 1.$

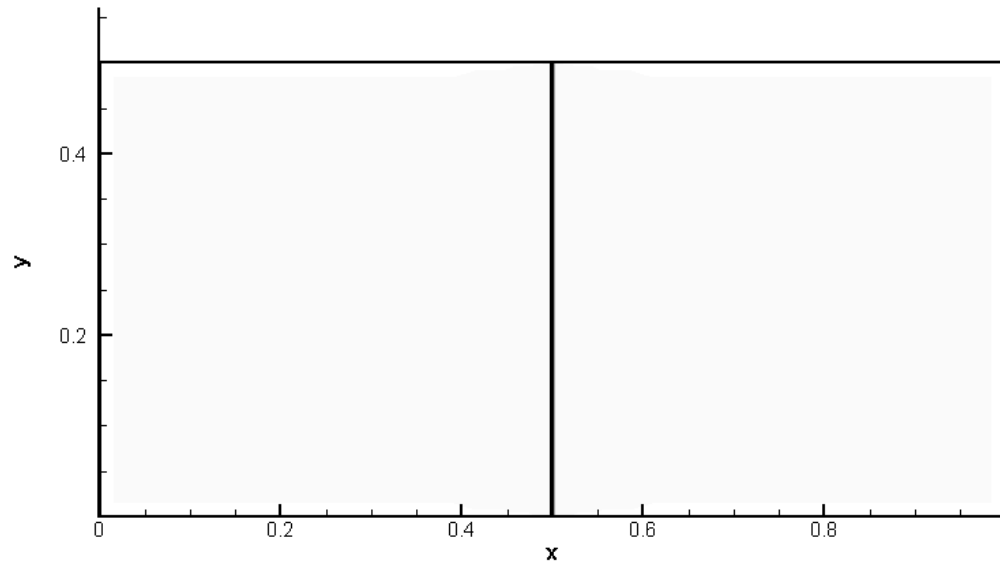
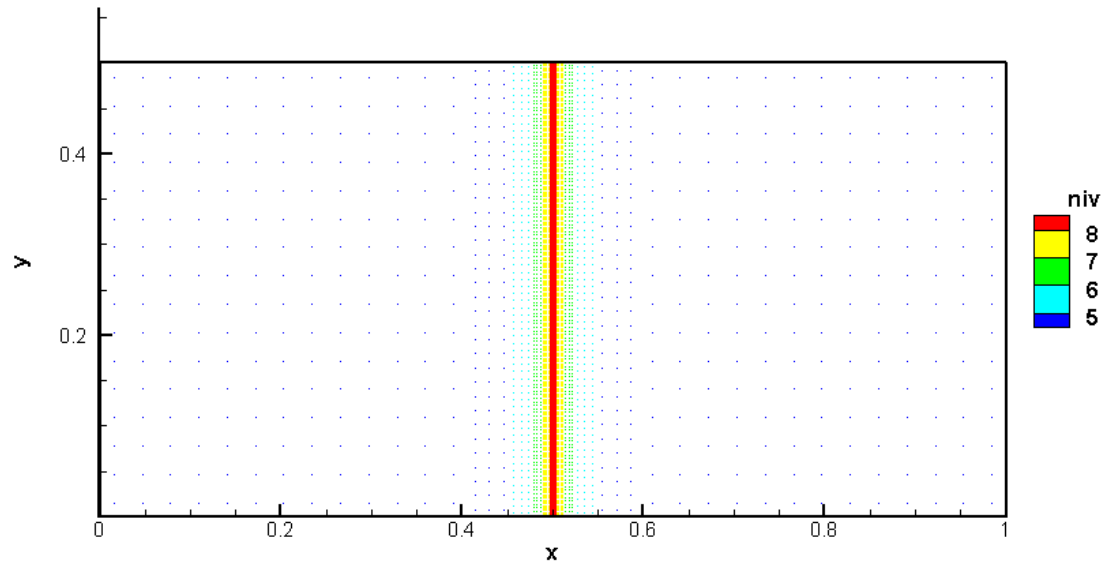


$$L_x = 1 ; L_y = 0.5$$

$$\varepsilon = 10^{-2} \rightarrow \text{Compression} = 70 \%$$



Cas-Test N-S 2D : Tube à choc ($Re=200$)

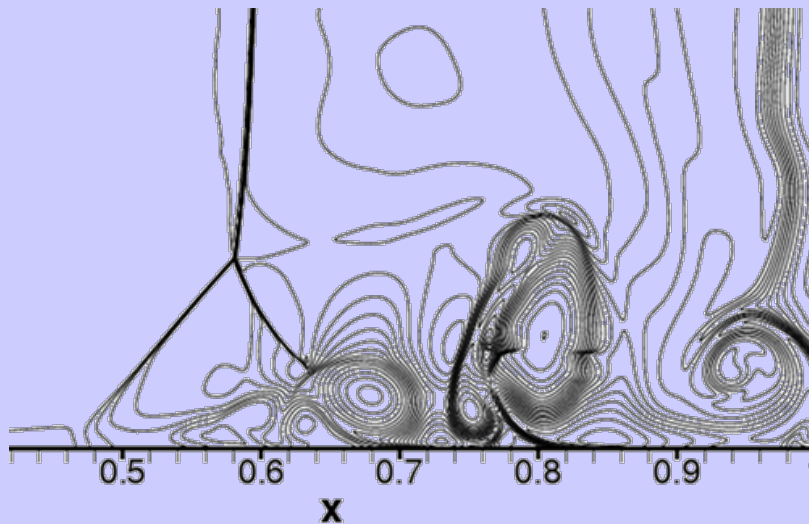


Cas-Test N-S 2D : Tube à choc ($Re=200$)

Laboratoire d'Informatique pour la Mécanique et les Sciences de l'Ingénieur

Tube à Choc : $Re = 200$; $T = 1$.

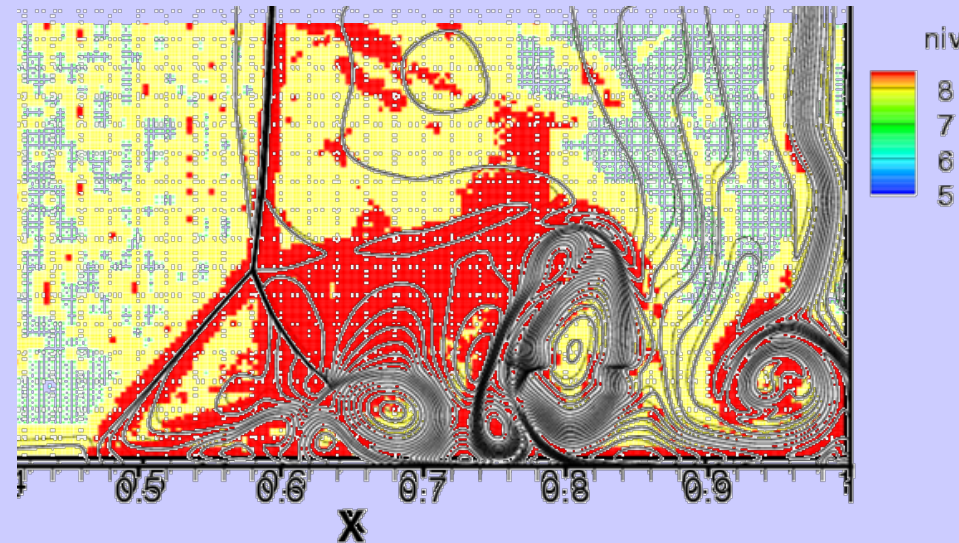
AMR Wavelets (1024 x 512)



Compression :

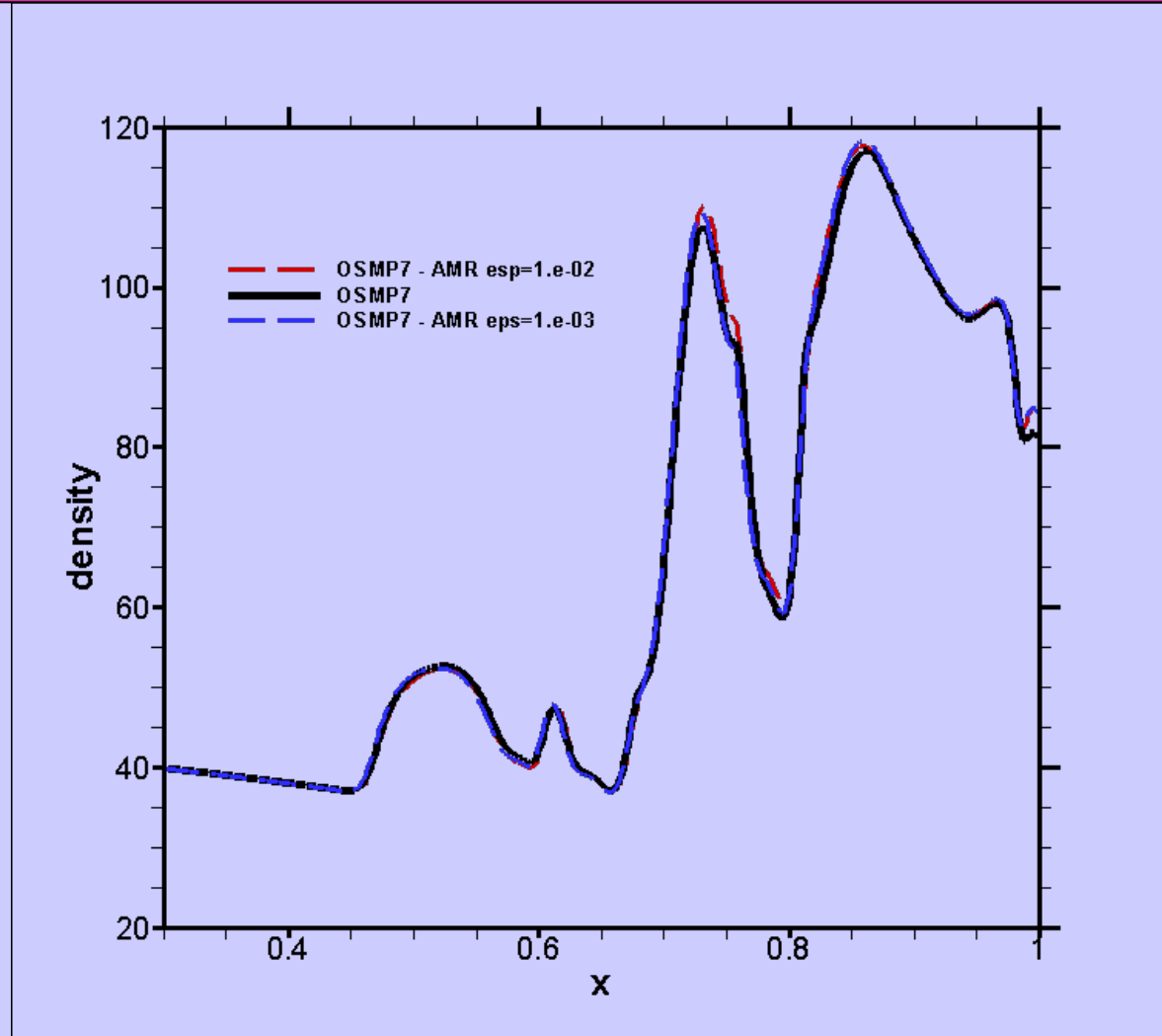
- Mémoire = 35 %
- CPU = 80 %

Référence : FV OSMP7 (1000 x 500)



Cas-Test N-S 2D : Tube à choc ($Re=200$)

Laboratoire d'Informatique pour la Mécanique et les Sciences de l'Ingénieur

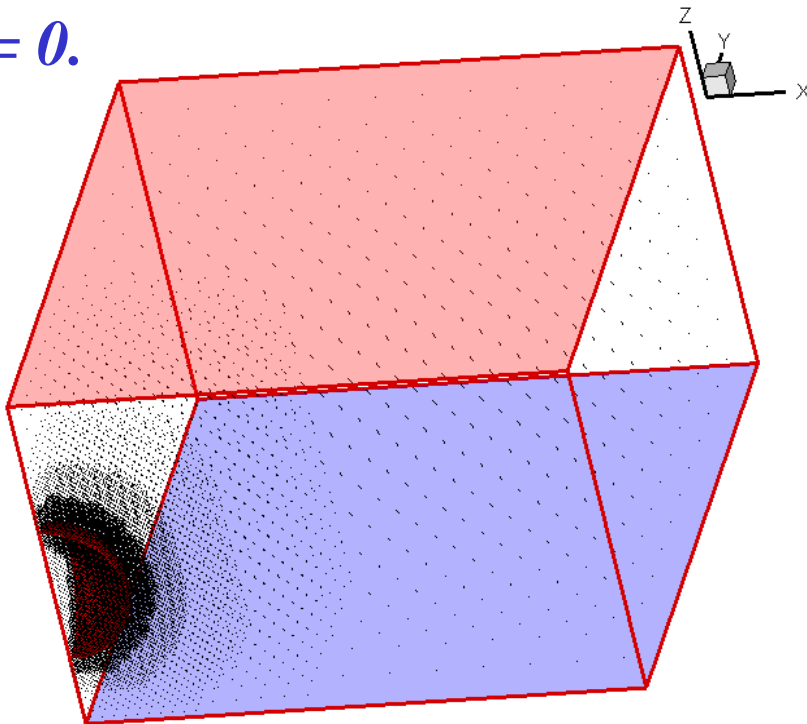


Cas-Test Euler 3D : Tube à choc

Laboratoire d'Informatique pour la Mécanique et les Sciences de l'Ingénieur

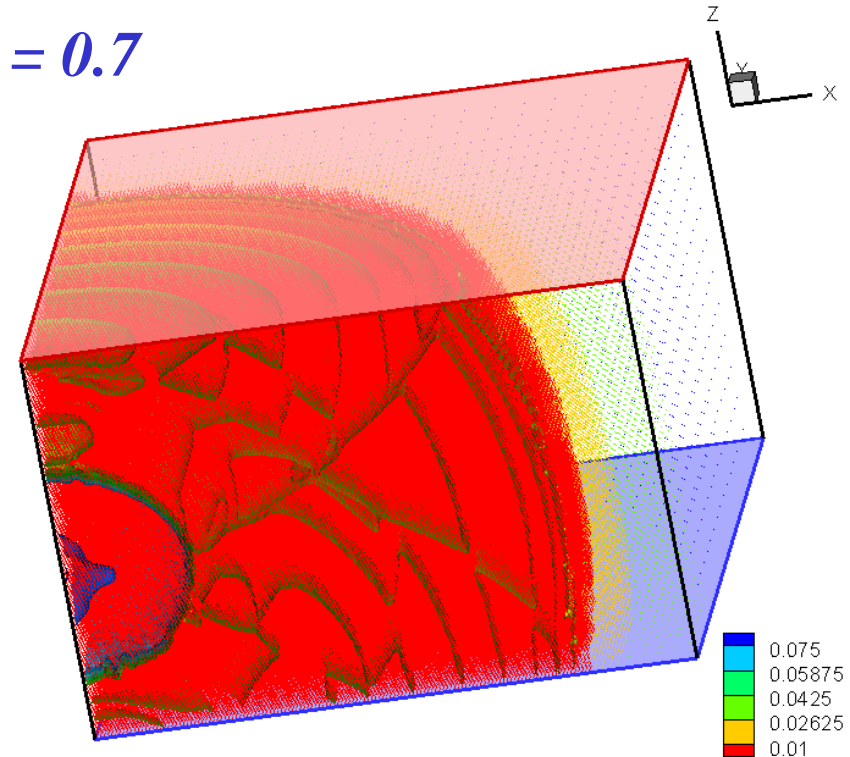
AMR $\varepsilon = 10^{-3}$ ($160 \times 160 \times 96$) : $t_{CPU} = 6.5 \cdot 10^{-6}$; rapport $t_{CPU} \# 0,7$

$t = 0.$



$N_{points} < 1 \% N_{Tot}$

$t = 0.7$

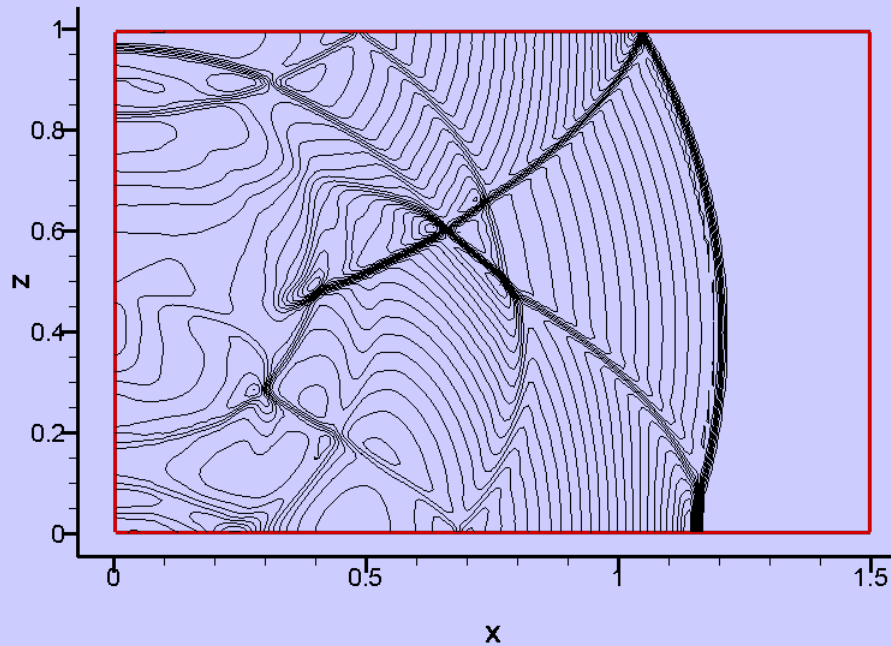


$N_{points} \sim 50 \% N_{Tot}$

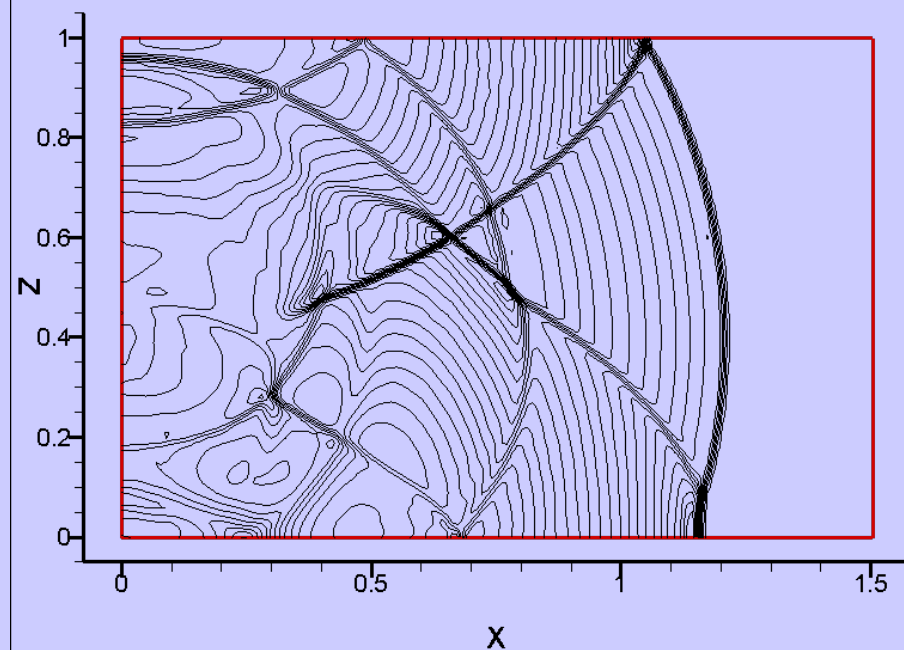
Cas-Test Euler 3D : Tube à choc

Laboratoire d'Informatique pour la Mécanique et les Sciences de l'Ingénieur

AMR : $\varepsilon = 10^{-3}$ (160 × 160 × 96)

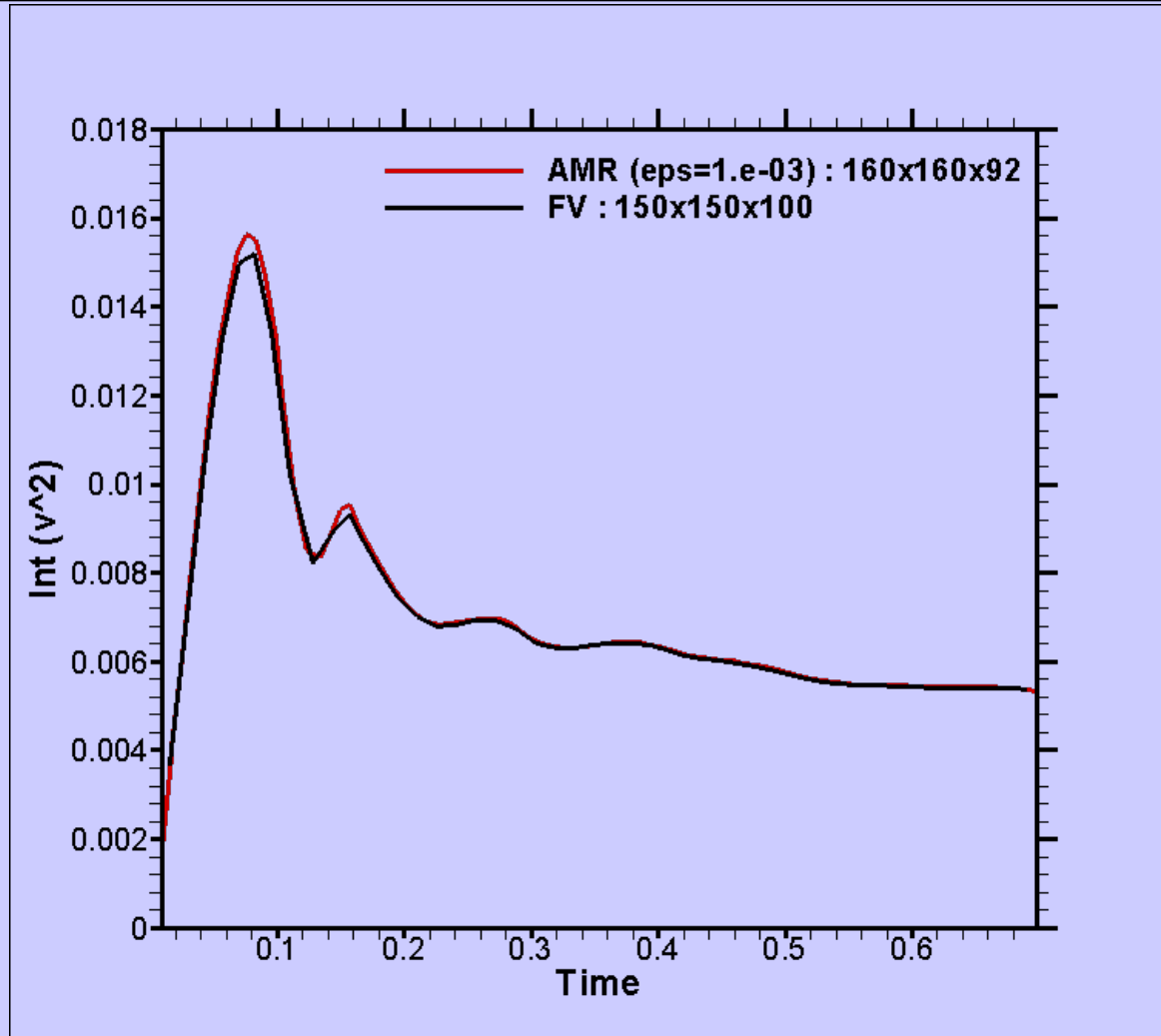


FV OSMP7 (150 × 150 × 100)



Cas-Test Euler 3D : Tube à choc

Laboratoire d'Informatique pour la Mécanique et les Sciences de l'Ingénieur



Conclusions et Perspectives

Laboratoire d'Informatique pour la Mécanique et les Sciences de l'Ingénieur

AMR :

- Décomposition multi échelle : Formalisme & Concept attractifs
- Contrôle erreur d'approximation MR (perturbation)
- Performances si 50 % mémoire(FV)
 - maillages raffinés
 - gradients localisés

Perspectives :

- Résolution implicite → ne semble pas un point dur.
- Parallélisation → difficultés sauf peut-être par patch
- Conditions immergées → frontières non alignées / maillage
- Adaptation en temps → suivant niveau de raffinement
- Concept MRA → LES (?)